

1)

$$a) [H]_{\otimes} = i\varepsilon \begin{pmatrix} 0 & 1 \\ -1 & 0 \end{pmatrix}$$

Autoválues λ :

$$\det \begin{pmatrix} -\lambda & i\varepsilon \\ -i\varepsilon & -\lambda \end{pmatrix} = 0 \Rightarrow \lambda^2 - \varepsilon^2 = 0 \Rightarrow \lambda = \pm \varepsilon$$

Autovetores

$$[H]_{\otimes} \begin{pmatrix} a_1 \\ a_2 \end{pmatrix} = \pm \varepsilon \begin{pmatrix} a_1 \\ a_2 \end{pmatrix} \Rightarrow \begin{cases} i\varepsilon a_2 = \pm \varepsilon a_1 \\ -i\varepsilon a_1 = \pm \varepsilon a_2 \end{cases}$$

$$\text{Logo } a_2 = \mp i a_1$$

$$\text{autovetor de norma unitária: } [1 \pm \varepsilon]_{\otimes} = \frac{1}{\sqrt{2}} \begin{pmatrix} 1 \\ \mp i \end{pmatrix}$$

Conclusão:

- estado estacionário $|+\varepsilon\rangle = \frac{1}{\sqrt{2}}(|\psi_1\rangle - i|\psi_2\rangle) \rightarrow \text{energia } +\varepsilon$

- " " " $|-\varepsilon\rangle = \frac{1}{\sqrt{2}}(|\psi_1\rangle + i|\psi_2\rangle) \rightarrow \text{ " } -\varepsilon$

b) Note que $|\psi_1\rangle = \frac{1}{\sqrt{2}}(|+\varepsilon\rangle + |-\varepsilon\rangle)$ não é estacionário
pois é comb. linear de autovetores de H com autoválues (energias) distintas.

b) (continuação)

Evolução temporal

$$|\Psi\rangle = |\Psi_0\rangle = \frac{1}{\sqrt{2}} (|E\rangle + |-E\rangle)$$

$$\Rightarrow |\Psi\rangle_t = \frac{1}{\sqrt{2}} (e^{-iEt/\hbar} |E\rangle + e^{iEt/\hbar} |-E\rangle)$$

$$c) P_{1 \rightarrow 2} = |\langle \psi_2 | \psi_0 \rangle_t|^2$$

$|\psi_2\rangle$ que se encontra como combinação linear de $|E\rangle$ e $|-E\rangle$:

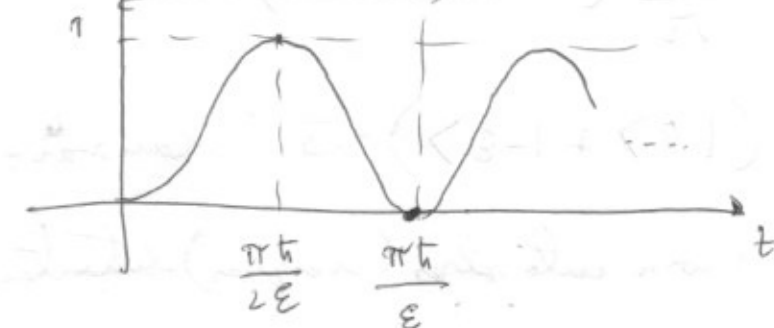
$$|E\rangle - |-E\rangle = -\frac{2i}{\sqrt{2}} |\psi_2\rangle = -\sqrt{2} i |\psi_2\rangle \Rightarrow$$

$$|\psi_2\rangle = \frac{i}{\sqrt{2}} (|E\rangle - |-E\rangle)$$

Como $\langle E | -E \rangle = 0$, temos então

$$P_{1 \rightarrow 2} = \left| \underbrace{\frac{(-i)}{2} (e^{-iEt/\hbar} - e^{iEt/\hbar})}_{-2i \sin(Et/\hbar)} \right|^2 = \sin^2\left(\frac{Et}{\hbar}\right)$$

$$P_{1 \rightarrow 2} \text{ período} = \frac{\pi\hbar}{E} = \frac{2\pi}{\omega_{\text{Bohr}}} \quad \text{onde freq. de Bohr}$$



$$\omega_{\text{Bohr}} = \frac{E - (-E)}{\hbar} = \frac{2E}{\hbar}$$

2)

a) $|n\rangle$ não é auto-estado de a^+ , porque

$$a^+|n\rangle = C|n+1\rangle$$

e $|n+1\rangle$ não é da forma $\propto |n\rangle$; de fato $|n+1\rangle$ é ortogonal a $|n\rangle$

Calculando $|C|$:

$$\|a^+|n\rangle\|^2 = \langle n|a^+a^+|n\rangle = |C|^2$$

$$\text{mas } aa^+ = a^+a + \mathbb{I} \Rightarrow |C|^2 = \langle n|a^+a+\mathbb{I}|n\rangle = n+1$$

Podemos então tomar $C = \sqrt{n+1}$ b) $\langle n|X|n\rangle = ?$

$$\left. \begin{aligned} a &= \frac{1}{\sqrt{2}} \left(\frac{X}{\omega_0} + i \frac{P \omega_0}{\hbar} \right) \\ a^+ &= \frac{1}{\sqrt{2}} \left(\frac{X}{\omega_0} - i \frac{P \omega_0}{\hbar} \right) \end{aligned} \right\} \Rightarrow a^+ + a = \sqrt{2} \frac{X}{\omega_0}$$

$$X = \frac{\omega_0}{\sqrt{2}} (a + a^+)$$

$$\text{Logo } \langle n|X|n\rangle = \frac{\omega_0}{\sqrt{2}} \langle n|a+a^+|n\rangle = \frac{\omega_0}{\sqrt{2}} \left(\sqrt{n}\langle n|n-1\rangle + \sqrt{n+1}\langle n|n+1\rangle \right) \\ = 0$$

Tens tb. $\langle n|P|n\rangle = m \frac{d}{dt} \langle X \rangle = 0$ Demonstração: como $V(x) = V(-x)$, então estacionários $Q_n(x) = \langle x|n\rangle$ tem paridade definida, e logo dens. de probabilidade é par $\Rightarrow \langle X \rangle = 0$

Por outro lado, $\langle P \rangle = 0$ para qualquer estado estacionário ligado, independentemente da forma do potencial, já que é proporcional à derivada temporal de $\langle X \rangle$.

$$c) \langle V(x) \rangle = \frac{1}{2} m \omega^2 \langle X^2 \rangle$$

$$X^2 = \frac{x_0^2}{2} (a + a^\dagger)^2 = \frac{x_0^2}{2} (a^2 + a^{+2} + \cancel{aa^\dagger} + \cancel{a^\dagger a})$$

Tens:

$$\langle n | a^2 | n \rangle = \sqrt{n(n-1)} \langle n | n-2 \rangle = 0$$

$$\langle m | a^{+2} | n \rangle = \langle m | a^2 | n \rangle^* = 0$$

$$\langle n | a^\dagger a | n \rangle = n$$

$$\text{Cogo } \langle X^2 \rangle = \frac{x_0^2}{2} (2n+1) = x_0^2 (n + \gamma_n) \Rightarrow$$

$$\langle V \rangle = \frac{1}{2} m \omega^2 \frac{\hbar}{m \omega} \cdot (n + \gamma_n) = \frac{\hbar \omega}{2} (n + \gamma_n)$$

$$d) \langle T \rangle + \langle V \rangle = E_n = \hbar \omega (n + \gamma_n) \Rightarrow \langle T \rangle = \langle V \rangle = \frac{E_n}{2} = \frac{\hbar \omega (n + \gamma_n)}{2}$$

$$3) \Psi(r) = C \exp(-r/a_0)$$

$$a) \text{Norma unitária} \Rightarrow \int d^3r |\Psi|^2 = 1$$

Como Ψ independe de θ e φ , integral angular fornece fator 4π (círculo sólido):

$$\int d^3r |\Psi|^2 = 4\pi \int_0^\infty dr r^2 |C|^2 \exp(-2r/a_0) = 4\pi |C|^2 a_0^3 \underbrace{\int_0^\infty d\xi \xi^2 e^{-2\xi}}_{\frac{2}{2^3} = \frac{1}{4!}}$$

$$\text{Logo } |C|^2 = \frac{1}{\pi a_0^3}; \text{ podendo anular } C = \frac{1}{\sqrt{\pi a_0^3}}$$

b) Valor médio do (vetor) posição relativa:

$$\langle \vec{R} \rangle = |C|^2 \int d^3r \exp\left(-\frac{2r}{a_0}\right) \vec{r} = C \underbrace{\int_0^\infty dr r^3 \exp\left(-\frac{2r}{a_0}\right)}_0 \underbrace{\left(\int_0^\pi d\theta \sin\theta \int_0^{2\pi} d\varphi \hat{r}(\theta, \varphi) \right)}_{=0}$$

Tens então $\langle \vec{R} \rangle = 0$ como esperado p/ essa densidade de probabilidade que independe de θ e φ (isotropia). Por antôlodo, $\langle \vec{P} \rangle = \text{jet} \langle \vec{R} \rangle = 0$, como esperado para qualquer estado estacionário ligeiro.

$$c) \langle \hat{r} \cdot \vec{R} \rangle = C^2 \cdot 4\pi \int_0^\infty dr r^3 \exp\left(-\frac{2r}{a_0}\right) = \frac{4\pi}{\pi a_0^3} \cdot a_0^4 \underbrace{\int_0^\infty d\xi \xi^3 \exp(-2\xi)}_{\frac{9!}{2^9} = \frac{3}{8}}$$

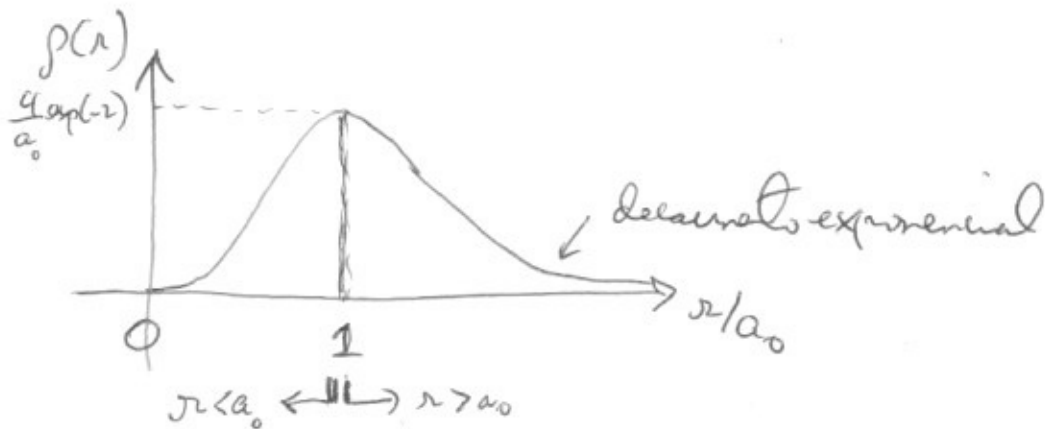
$\hat{r} \cdot \vec{R}$ representa a distância entre o elétron e o próton

a_0 é o raio de Bohr e determina a escala característica para a distância entre o elétron e o próton no estado fundamental ("tamanho" do átomo).

(6)

d) Densidade de probabilidade

$$p(r) = 4\pi r^2 e^{-2r/a_0} = \frac{4}{a_0^3} r^2 e^{-2r/a_0} = \frac{4}{a_0} \left(\frac{r}{a_0}\right)^2 e^{-2r/a_0}$$



$$p'(r) = 0 \Rightarrow 2r e^{-2r/a_0} + \frac{r^2(-2)}{a_0} e^{-2r/a_0} = 0$$

$$\Rightarrow r = a_0 \quad (\text{max. da densidade de prob. radial})$$

Novamente aqui aparece ao como curva de comprimento característica para a distância entre o elétron e o protão. Vemos que a faixa de distância provável é em torno de a_0 ; entretanto o valor médio obtido no item c é 50% maior que a_0 . Isso deve à assimetria da densidade de probabilidade em relação ao pto. de máximo $r=a_0$. É provável dizer $r > a_0$ de que $r < a_0$, e assim a média é $> a_0$.